

Università degli studi di Bergamo

Scuola di Ingegneria (Dolmine)

CCS Ingegneria Edile

L-23 Ingegneria delle Tecnologie per l'Edilizia

Scienza delle Costruzioni

(ICAR/08 - SdC ; 9 CFU)

A.A. 2020/2021

prof. Egidio RIZZI

egidio.rizzi@unibg.it

LEZIONE 17

Componenti Volumetrica e Deviatorica

$$v = I_1 \rightarrow \text{deformazione volumetrica}$$

Deformazione: $\varepsilon = \varepsilon_v + \varepsilon_D = \frac{\text{tr } \varepsilon}{3} I_1 + \varepsilon = \frac{v}{3} I_1 + \varepsilon \Rightarrow \varepsilon = \varepsilon - \frac{\text{tr } \varepsilon}{3} I_1$ di deformaz.

Sforzo : $\sigma = \sigma_v + \sigma_D = \frac{\text{tr } \sigma}{3} I_1 + \sigma = p I_1 + \sigma \Rightarrow \sigma = \sigma - \frac{\text{tr } \sigma}{3} I_1$ di sforzo

$$[I] = \begin{bmatrix} 1 & \cdot & \cdot \\ \cdot & 1 & \cdot \\ \cdot & \cdot & 1 \end{bmatrix} \quad \text{I tensore identità del 2° ord. (} I_{ij} = \delta_{ij} \text{)} \quad \text{tensione media} \quad \text{tr } I = I : I = \sigma_{ii} \delta_{ii} = 3$$

$$p = \frac{\sigma_{ii}}{3} = \frac{\sigma_{11} + \sigma_{22} + \sigma_{33}}{3} = \frac{\text{tr } \sigma}{3} = \frac{I : \sigma}{3} \quad \text{"traceless tensors"}$$

$$\text{tr } \sigma = I_{ij} \sigma_{ij} = \delta_{ij} \sigma_{ij} = \sigma_{ii}$$

Invarianti del deviatore di deformazione o di sforzo:

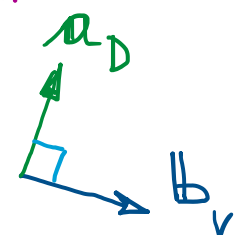
$$J_1 = \text{tr } \varepsilon = \sigma_{ii} = I : \varepsilon = \cancel{\text{tr } \sigma} - \cancel{\frac{\text{tr } \sigma}{3}} \cancel{\text{tr } I} = 0 \text{ per definizione}$$

$$J_2 = \frac{1}{2} \text{tr } \sigma^2 = \frac{1}{2} \text{tr} (\sigma \cdot \sigma) = \frac{1}{2} \delta_{ij} \sigma_{ik} \sigma_{kj} = \frac{1}{2} \sigma_{jk} \sigma_{kj} = \frac{1}{2} \sigma : \sigma = J_2$$

$$J_3 = \frac{1}{3} \text{tr } \sigma^3$$

$$\text{N.B.: } a_v : b_D = a_D : b_v = 0$$

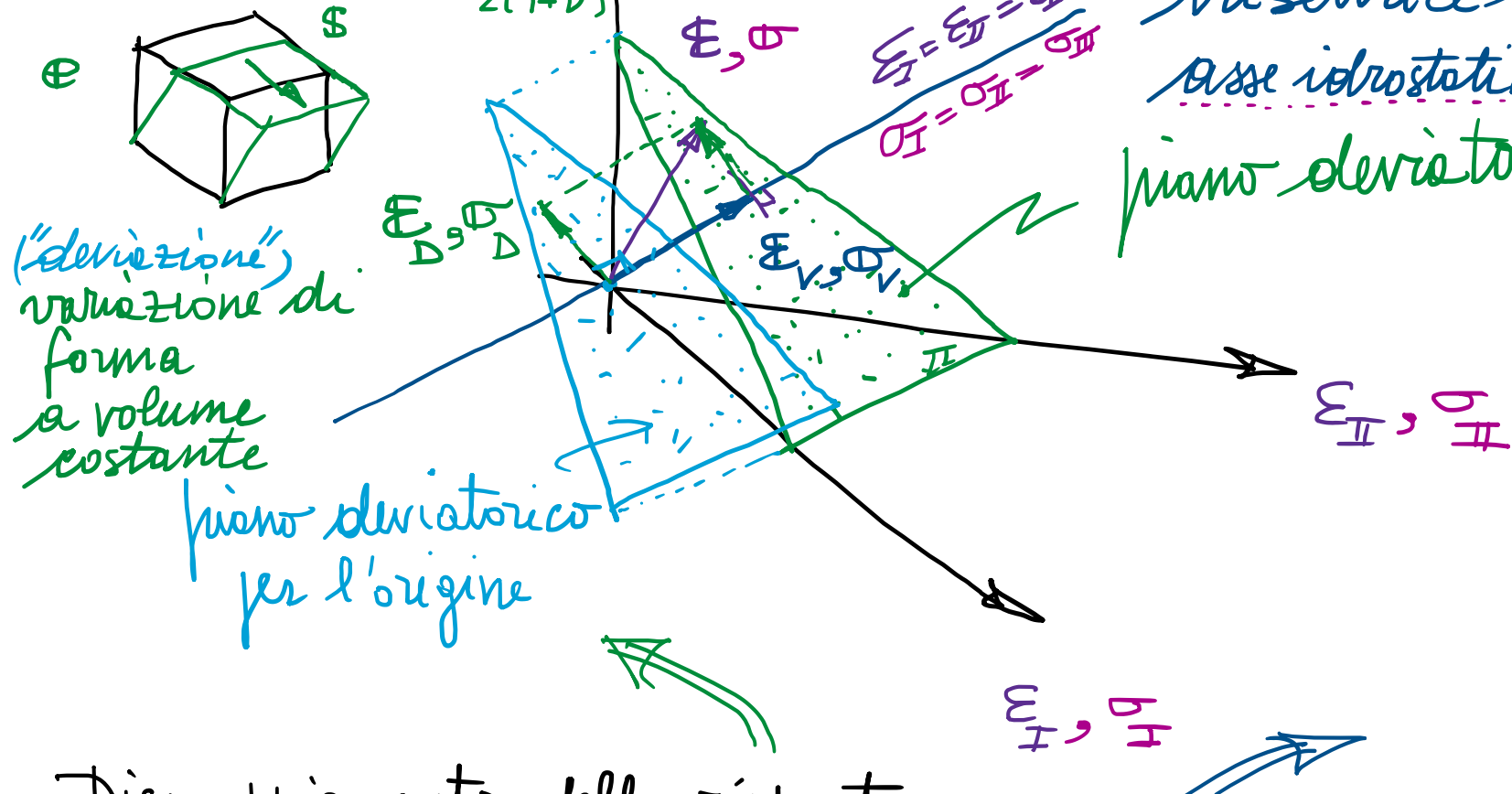
$$\frac{\text{tr } I}{3} : b_D = [a_D : \frac{\text{tr } b}{3} I] : \text{tr } a_D = \text{tr } b_D = 0$$



Rappresentazione nello "spazio principale" (spazio delle deformazioni principali) spazio delle tensioni principali

$$e = \frac{\$}{2G} ; \$ = 2Ge$$

$$G = \frac{E}{2(1+\nu)}$$



Decomponimento delle risposte
volumetrica e deviatorica per materiale isotropo

$$E_v \leftrightarrow D_v$$

e ↔ s

"trisettore del 1° ottante"

asse idrostatico ($\sigma_z = \sigma_x = \sigma_y$)

linea deviatorica

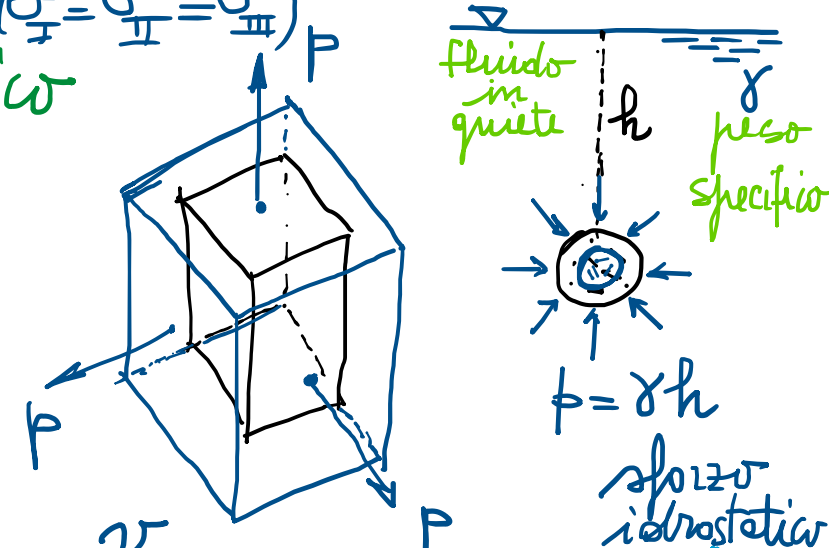
piano devistorico

$\Sigma_{\text{II}}, \delta_{\text{II}}$

Σ_I , b_H

1

polline di
materie
isotrope



variazione di volume

a forma costante

(omotetico)

$$v = \frac{1}{k} p ; \quad p = k v$$

$$K = \frac{E}{3(1-2\nu)}$$

modulo
di volume

Risposte deviatorica $\underline{\underline{\epsilon}} = \underline{\underline{\epsilon}} - \frac{\text{tr} \underline{\underline{\epsilon}}}{3} \underline{\underline{I}}$ $\stackrel{\text{E}(\sigma) \text{ legge di Hooke generalizzata (materiale elastico, lineare, isotropo)}}{=} -\frac{\nu}{E} \text{tr} \underline{\underline{\sigma}} \underline{\underline{I}} + \frac{1+\nu}{E} \underline{\underline{\sigma}} - \frac{\text{tr} \underline{\underline{\sigma}}}{3} \underline{\underline{I}}$ $E, \nu [K, G]$

$$= \frac{1+\nu}{E} \underline{\underline{\sigma}} - \frac{\text{tr} \underline{\underline{\sigma}}}{3} \underline{\underline{I}} \left(3\nu + 1 - 2\nu \right)$$

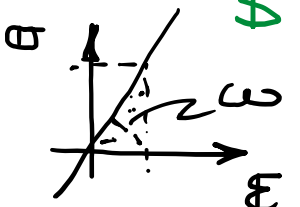
$$\frac{\nu}{3} = \frac{1}{K} \frac{P}{3} = \frac{3(1-2\nu)}{E} \frac{\text{tr} \underline{\underline{\sigma}}}{3}$$

$$= \frac{2(1+\nu)}{2E} \left(\underline{\underline{\sigma}} - \frac{\text{tr} \underline{\underline{\sigma}}}{3} \underline{\underline{I}} \right) \stackrel{1+\nu}{=} \frac{1}{2G} \underline{\underline{\sigma}} = \underline{\underline{\epsilon}} ; \underline{\underline{\sigma}} = 2G \underline{\underline{\epsilon}}$$

$$2\underline{\underline{\epsilon}} = \frac{1}{G} \underline{\underline{\sigma}} ; \underline{\underline{\sigma}} = G 2\underline{\underline{\epsilon}} \quad K = \frac{E}{3(1-2\nu)}$$

$\underline{\underline{\epsilon}} \leftrightarrow \underline{\underline{\sigma}}$
disaccoppiate delle
risposte volumetrica

Energie di deformazione:



$$\omega = \frac{1}{2} \underline{\underline{\sigma}} : \underline{\underline{\epsilon}} = \frac{1}{2} (\underline{\sigma}_V + \underline{\sigma}_D) : (\underline{\epsilon}_V + \underline{\epsilon}_D) =$$

$$= \underbrace{\frac{1}{2} \underline{\sigma}_V : \underline{\epsilon}_V}_{\omega_V} + \underbrace{\frac{1}{2} \underline{\sigma}_D : \underline{\epsilon}_D}_{\omega_D}$$

energia volumetrica energia deviatorica

$G = \frac{E}{2(1+\nu)}$; $G \rightarrow \infty, \nu \rightarrow -1$
deformazione senza variazione di forme

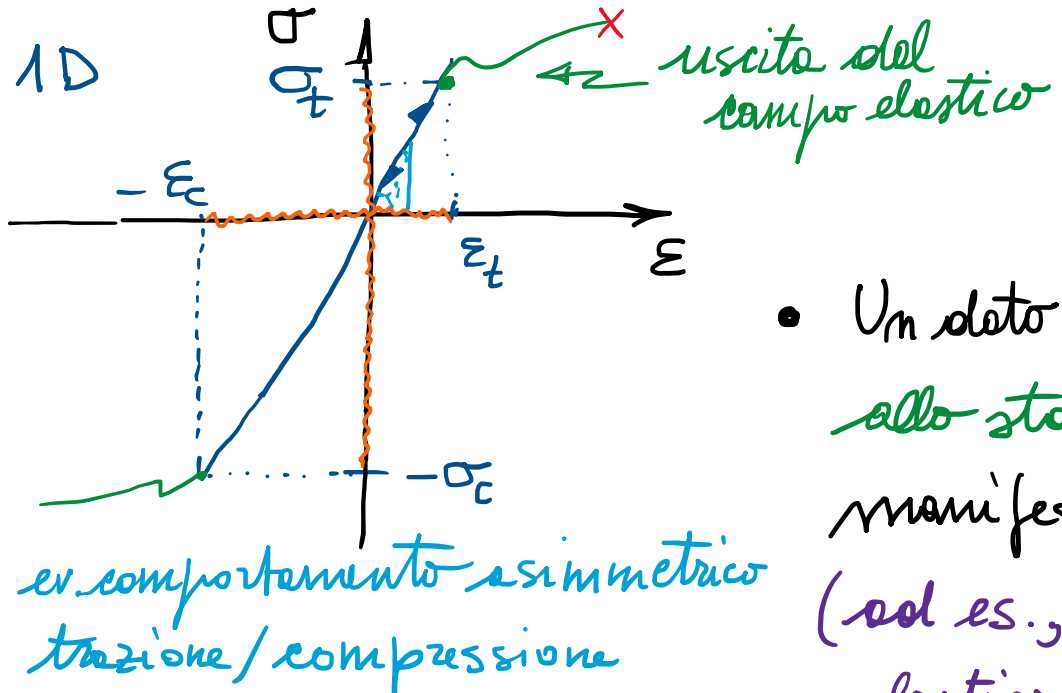
$$\bullet \omega_V = \frac{1}{2} \frac{\text{tr} \underline{\underline{\sigma}}}{3} \underline{\underline{I}} : \frac{\nu}{3} \frac{\text{tr} \underline{\underline{\epsilon}}}{3} \underline{\underline{I}}$$

$$= \frac{1}{2} P \nu = \frac{1}{2} K \nu^2 = \frac{1}{2} \frac{1}{K} P^2 = \frac{1}{2} \frac{1}{9K} I_1^2 > 0$$

$$\bullet \omega_D = \frac{1}{2} \underline{\underline{\sigma}} : \underline{\underline{\epsilon}}$$

$$= \frac{1}{2} \frac{1}{2G} \underline{\underline{\epsilon}} : \underline{\underline{\epsilon}} = \frac{J_2}{2G} > 0$$

Verifica di resistenza (elastica)



sforzi di smistamento

$$\sigma_t = \frac{\sigma_y}{f} \Rightarrow \sigma_0$$

fattore di sicurezza $2 \div 5(10)$

- Un dato materiale, in relazione alle proprie natura e allo stato tensor-deformativo cui è sottoposto, può manifestare determinate risorse di "resistenza" (ad es., "elastica", cioè rispetto all'uscita del campo elastico, per giungere poi a "rottezione"), definite tramite opportuni criteri di resistenza, i quali allo scopo.

- Verifica di resistenza

$$G.I.P.(\sigma, \epsilon) \leq R$$

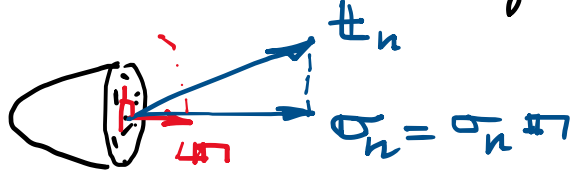
Grandezza indice del pericolo Resistenza (elastica)

- Nel dominio degli sforzi: $\sigma_{eq}(\sigma, \epsilon) \leq \sigma_0$

"tensione equivalente" Tensione ammissibile
(quantità scalare)

1) Criterio di Galileo - Rankine - Navier (vedi "mensole di Galileo")

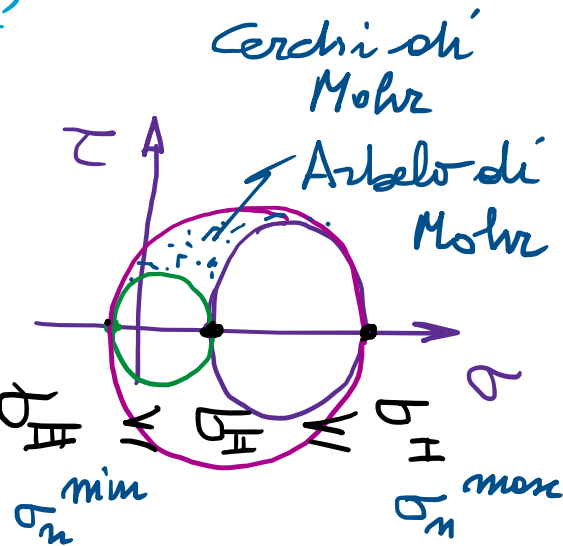
Assume come G.I.P. lo sforzo normale (max, min)



$$-\sigma_c \leq \sigma_n^{\min} ; \sigma_n^{\max} \leq \sigma_t$$

$\sigma_I, \sigma_{II}, \sigma_{III}$

tensioni principali



6 diseguaglianze

$$-\sigma_c \leq \sigma_I \leq \sigma_t$$

$$-\sigma_c \leq \sigma_{II} \leq \sigma_t$$

$$-\sigma_c \leq \sigma_{III} \leq \sigma_t$$

"cube" di G.R.N.

(nello spazio delle tensioni principali)

$$-\sigma_c \leq \sigma_I \leq \sigma_t$$

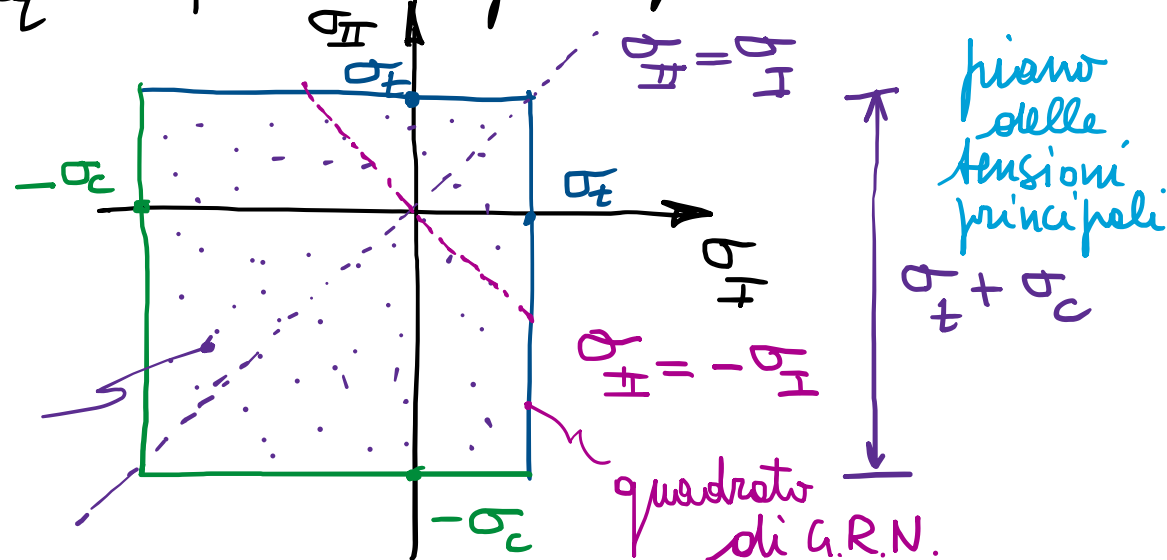
$I = I, II, III$

4 diseguaglianze
per sforzo piano
($\sigma_{III} = 0$)

dominio
di resistenza
di G.R.N.

$$\sigma_{eq} = \sigma_I$$

tensioni principali



- Iolone per materiali e comportamento non simmetrico e trazione/compressione
 (in particolare per stati di prevalente trazione, in materiali lapidei)
 - Per materiali a comportamento simmetrico t/c, non iolone e distinguere il diverso livello di pericolosità di stati A ($\sigma_I = \sigma_{II}$) e B ($\sigma_{II} = -\sigma_I$)

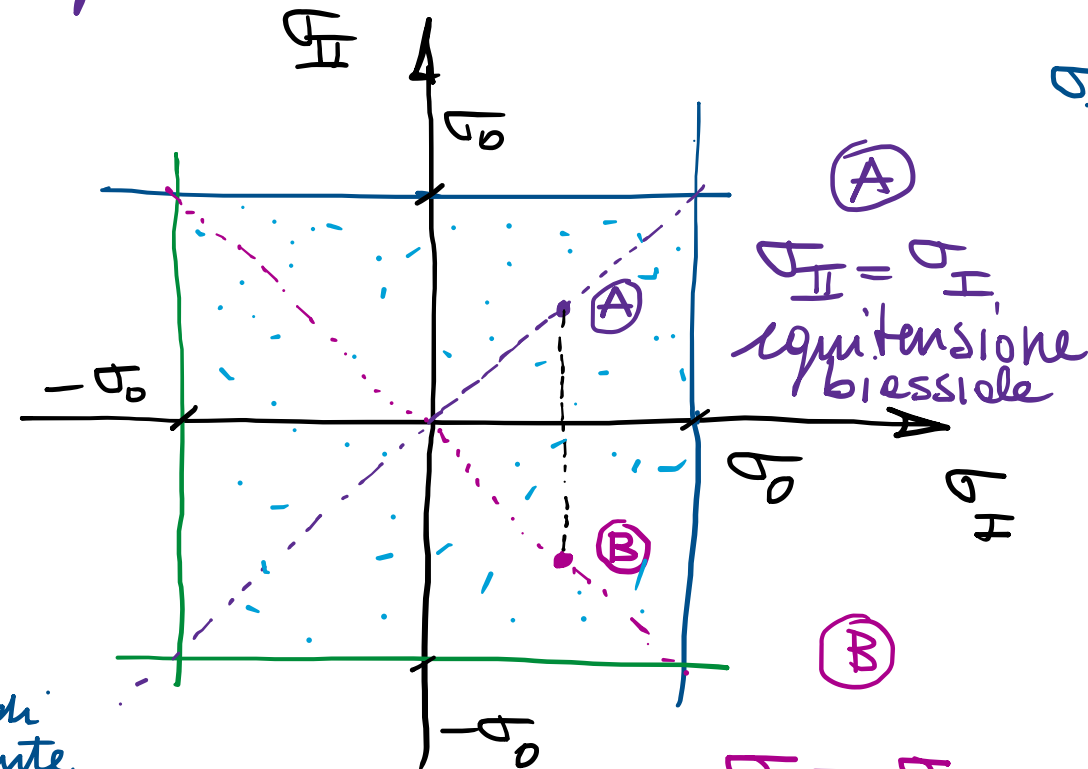
materie "loplide"
(come CLS)

zeale ✓

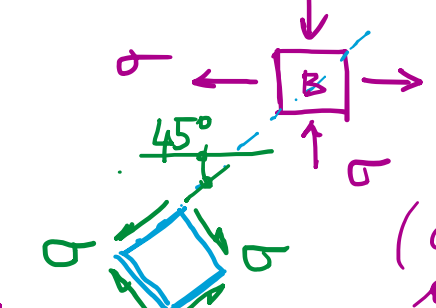
A hand-drawn diagram illustrating the motion of a cylinder in a rotating coordinate system. A vertical black axis represents the b_H direction, and a horizontal black axis represents the H direction. A green circle at the bottom represents the cylinder's cross-section. A blue rectangle is drawn around the cylinder, representing its volume element. A dashed purple circle shows the cylinder's rotation. A pink dashed line indicates the cylinder's trajectory through the coordinate system.

"pere" delle tensioni

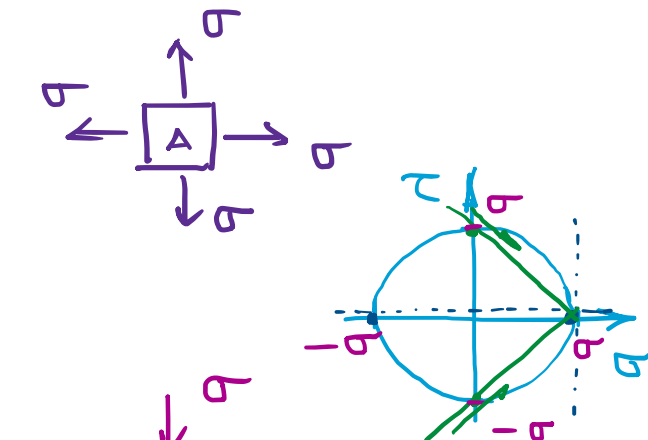
(con resistenza maggiore in compressione)



$$\frac{D}{II} = -\frac{D}{I}$$



(contrazione
dominio lungo
 $\Omega_I = -\Omega_{\bar{I}}$)



DISCORSI
E
DIMOSTRAZIONI
MATEMATICHE,
intorno à due nuove scienze
Attinenti alla
MECANICA & i MOVIMENTI LOCALI;
del Signor
GALILEO GALILEI LINCEO,
Filosofo e Matematico primario del Serenissimo
Grand Duca di Toscana.
Così una Appendice del centro di gravità d'alcuni Solidi.



IN LEIDA,
Appresso gli Elsevirii. M. D. C. XXXVIII.

